

РОССИЙСКАЯ АКАДЕМИЯ НАУК
СИБИРСКОЕ ОТДЕЛЕНИЕ

ЖУРНАЛ СТРУКТУРНОЙ ХИМИИ

Основан в 1960 г.

Выходит 6 раз в год

Т О М 52

Март – апрель

№ 2, 2011

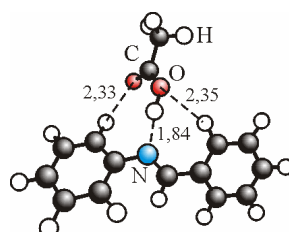
СОДЕРЖАНИЕ

ТЕОРИЯ СТРОЕНИЯ МОЛЕКУЛ И ХИМИЧЕСКОЙ СВЯЗИ

Журко Г.А., Александрийский В.В.,
Бурмистров В.А.

239

**Межмолекулярная водородная связь
в комплексах оснований Шиффа
с уксусной кислотой**

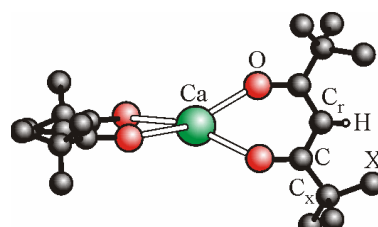


Ключевые слова: основания Шиффа, азометины, бензилиденанилин, квантовая химия, водородная связь, ядерный эффект Оверхаузера

Белова Н.В., Гиричев Г.В., Оберхаммер Х.

246

**Исследование структуры и энергетики β -дикетонатов. XVII. Внутреннее вращение
радикалов-заместителей в молекулах
 β -дикетонатов по данным
квантово-химических расчетов**

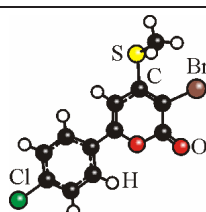


Ключевые слова: β -дикетонаты, ацетилацетонаты, гексафторацетилацетонаты, дипивалоилметанаты, внутреннее вращение, квантово-химические расчеты, электронография

Thul P., Gupta V.P., Chaturvedi D., Tandon P.

259

**Quantum chemical and experimental studies on
the structure and vibrational spectra of substituted
2-pyranones**

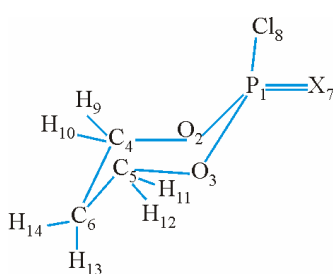


Keywords: 2-pyranone, molecular conformation, infrared spectra, DFT

Förner W., Badawi H.M.

269

**Anomeric effect and theoretical vibrational spectra
compared
to the experiment in 2-chloro-1,3,2-
dioxaphosphorinane-2-oxide, -sulfide, and -selenide. I.
Anomeric effect and structures**

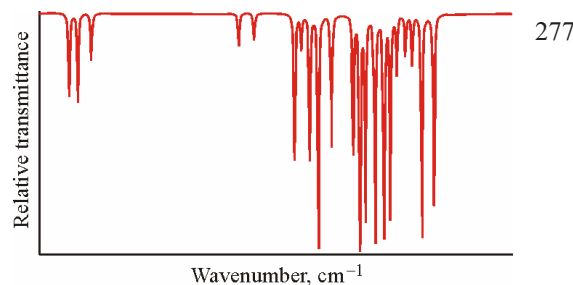


Keywords: anomeric effect, 2-chloro-1,3,2-dioxaphosphorinane-2-oxide, -sulfide, and -selenide, DFT/B3LYP, 6-311G** basis set

Badawi H.M., Förner W.

Theoretical vibrational spectra compared to the experiment and the anomeric effect in 2-chloro-1,3,2-dioxaphosphorinane-2-oxide, -sulfide, and -selenide. II. Vibrational spectra and assignments

Keywords: vibrational spectra, 2-chloro-1,3,2-dioxaphosphorinane-2-oxide, -sulfide, and -selenide, DFT/B3LYP, 6-311G** basis set

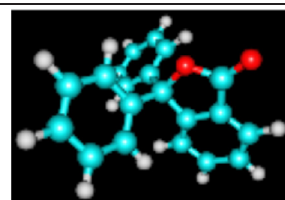


ИССЛЕДОВАНИЕ СТРОЕНИЯ МОЛЕКУЛ ФИЗИЧЕСКИМИ МЕТОДАМИ

Шишлов Н.М., Хурсан С.Л.

Инфракрасные спектры дифенилфталида и полидифениленфталида

Ключевые слова: колебательные спектры, теория функционала плотности, фталиды, полиариленфталиды, фенолфталеин

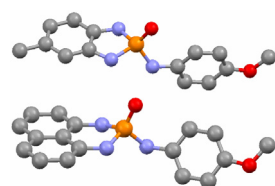


284

Afshar F., Sharifiatinia Z., Zare K., Ghaziany F.

Spectroscopic characterization and *ab initio* calculations of new diazaphosphole and diazaphosphorinane

Keywords: diazaphosphole, diazaphosphorinane, ¹H, ¹³C, ³¹P NMR, *ab initio* calculations

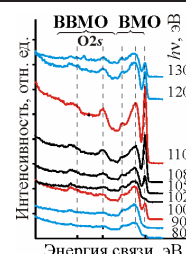


297

Тетерин А.Ю., Рыжков М.В., Тетерин Ю.А.,
Маслаков К.И., Райх Т., Молодцов С.Л.

Резонансная эмиссия валентных электронов UO₂, U₃O₈ и UO_{2+x} при возбуждении синхротронным излучением вблизи O_{4,5}(U)-порога поглощения

Ключевые слова: резонансная эмиссия валентных электронов, синхротронное излучение, оксиды урана



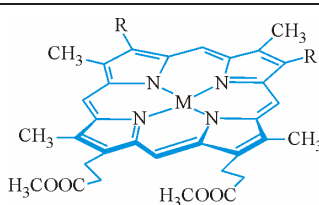
305

СТРУКТУРА ЖИДКОСТЕЙ И РАСТВОРОВ

Никифоров М.Ю., Голубев В.А.,
Мамардашвили Г.М., Альпер Г.А.

Растворимость порфириновых макроциклов в смешанных растворителях

Ключевые слова: растворимость, порфириновые макроциклы, молекулярная ассоциация

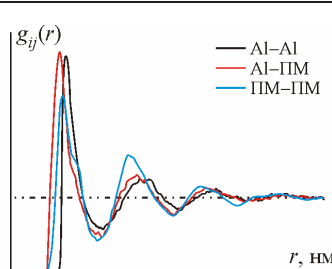


314

Роик А.С., Самсонников А.В., Казимиров В.П.,
Сокольский В.Э.

Взаимосвязь химического и икосаэдрического локальных упорядочений в расплавах Al—Ni—Fe

Ключевые слова: металлические расплавы, рентгеноструктурный анализ, предпик, икосаэдрический ближний порядок, химический ближний порядок, некристаллические кластеры



320

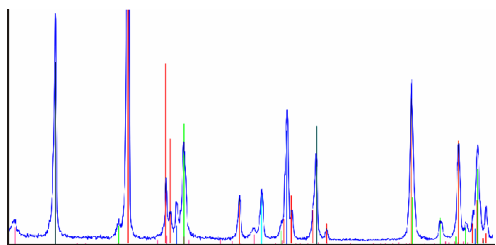
КРИСТАЛЛОХИМИЯ

Якимов И.С., Дубинин П.С., Залога А.Н.,
Пиксина О.Е., Якимов Я.И.

329

**Регуляризация методов бесстандартного
рентгенофазового анализа**

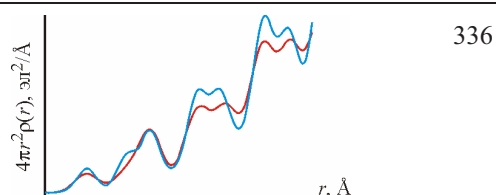
Ключевые слова: качественный рентгенофазовый анализ, фазовая идентификация, бесстандартный количественный рентгенофазовый анализ, метод ссылочных интенсивностей, метод RIR, регуляризация



Мороз Э.М., Шефер К.И., Зюзин Д.А., Шмаков А.Н.

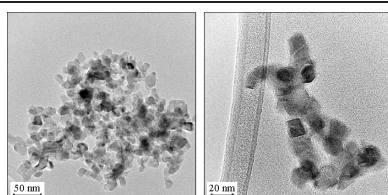
Исследование локальной структуры оксидов алюминия, полученных различными методами

Ключевые слова: оксид алюминия, метод радиального распределения электронной плотности, локальная структура



Kraleva E., Saladino M.L., Matassa R., Caponetti E., Enzo S., Spojakina A.

340



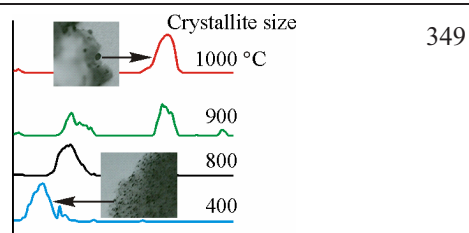
Phase formation in mixed TiO_2 — ZrO_2 oxides prepared by sol-gel method

Keywords: TiO_2 — ZrO_2 mixed oxides, sol-gel method, srilankite, Rietveld method

Ávalos-Rendón T., Ortiz-Landeros J., Fetter G., Lara V.H., Bosch P., Pfeiffer H.

Structure, thermal stability, and catalytic performance of MgO — ZrO_2 composites

Keywords: catalyst supports, ceramic-matrix composites (CMCs), thermal properties, thermal analysis, zirconia

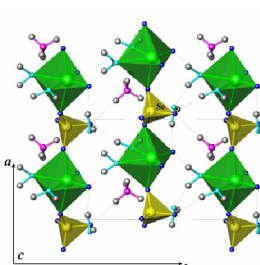


Тютюнник А.П., Зубков В.Г., Красильников В.Н., Бергер И.Ф., Переляева Л.А., Бакланова И.В., Скрипкин М.Ю., Свенссон Г.

349

Кристаллическая структура и колебательные спектры $\text{M}[\text{VO}_2(\text{SeO}_4)(\text{H}_2\text{O})_2]\cdot\text{H}_2\text{O}$ ($\text{M} = \text{K}, \text{Rb}, \text{NH}_4$)

Ключевые слова: комплексные соединения ванадия, оксоселенатованадаты, кристаллическая структура, колебательная спектроскопия

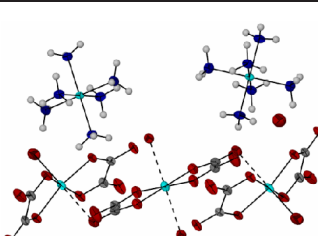


Домонов Д.П., Курачева Н.В., Печеник С.И.

358

Строение и свойства двойных комплексных солей $[\text{Co}(\text{NH}_3)_6][\text{Fe}(\text{CN})_6]$ и $[\text{Co}(\text{NH}_3)_6]_2[\text{Cu}(\text{C}_2\text{O}_4)_2]_3$

Ключевые слова: двойные комплексные соли, кобальт, железо, медь, рентгеноструктурный анализ, интерметаллид, термическое разложение, лиганда, аммиак, метан



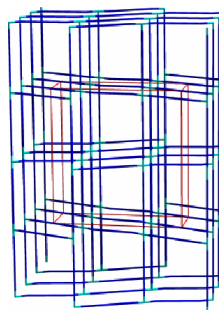
365

Юткин М.П., Завахина М.С., Самсоненко Д.Г.,
Федин В.П.

372

**Кристаллическая структура
металлорганических координационных
полимеров $[\text{Cu}(\text{bpy})_2(\text{H}_2\text{O})_2](\text{NO}_3)_2 \cdot 4,5\text{C}_2\text{H}_5\text{OH}$
и $[\text{Cu}_2(\text{bpy})(\text{H}_2\text{O})(L\text{-pha})_2](\text{NO}_3)_2 \cdot \text{H}_2\text{O}$**

Ключевые слова: медь, кристаллическая структура, фенилаланин, 4,4'-бипиридин, координационные полимеры, хиральные комплексы, металлорганические каркасы

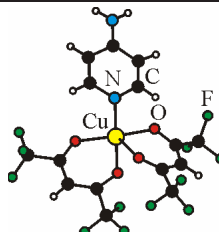


Стабников П.А., Жаркова Г.И., Алфёрова Н.И.,
Зубарева А.П., Шушарина Е.А., Первухина Н.В.

378

**Кристаллическая структура аддуктов
ацетилацетоната и гексафторацетилацетоната
меди(II) с 4-аминопиридином**

Ключевые слова: β -дикетонаты меди(II), 4-аминопиридин, кристаллическая структура

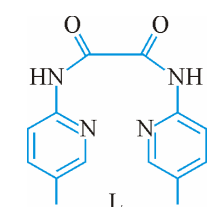


Пирязев Д.А., Жилин А.С., Смоленцев А.И.,
Вировец А.В., Василевский С.Ф., Лавренова Л.Г.

383

**Дифракционное исследование продуктов
реакции хлорида меди(II) с N^1,N^2 -бис(5-
метилпиридин-2-ил)оксаламидом**

Ключевые слова: N^1,N^2 -бис(5-метилпиридин-2-ил)оксаламид, комплексы, координационные полимеры, медь(II), РСА, РФА

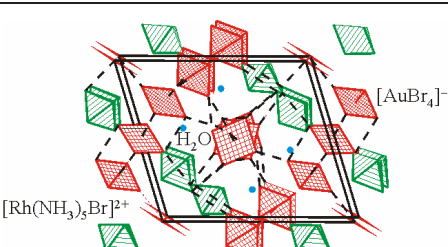


Плюснин П.Е., Семитут Е.Ю., Байдина И.А.,
Коренев С.В.

390

**Кристаллические структуры новых двойных
комплексных солей $[\text{M}(\text{NH}_3)_5\text{Br}][\text{AuBr}_4]_2 \cdot \text{H}_2\text{O}$,
где $\text{M} = \text{Ir}, \text{Rh}$, и комплексной соли
 $[\text{Ir}(\text{NH}_3)_5\text{Br}]\text{Br}_2$**

Ключевые слова: иридий, родий, золото,
рентгеноструктурный анализ, двойные комплексные соли

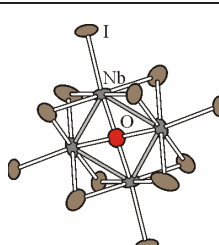


Артёмкина С.Б., Наумов Н.Г., Вировец А.В.,
Козлова С.Г., Фёдоров В.Е.

396

**Новый квадратный кластер ниобия $\{\text{Nb}_4(\mu_4\text{-O})\text{I}_8\}^{2+}$. Кристаллическая структура полимера
 $[\text{Nb}_4\text{OI}_8][\text{Mo}_6\text{I}_{14}]_{2\infty}$**

Ключевые слова: ниобий, молибден, металлокластер,
синтез, кристаллическая структура,
электронная структура

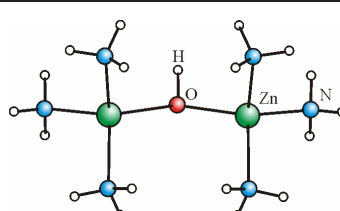


Миронов Ю.В., Шестопалов М.А., Фёдоров В.Е.

402

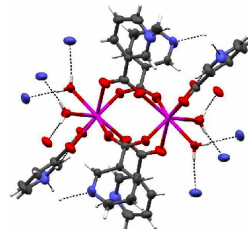
**Кристаллическая структура тетраэдрического
кластерного комплекса $[\text{Zn}_2(\text{NH}_3)_6(\mu\text{-OH})][\text{Zn}(\text{NH}_3)_4]_{0,5}[\text{Re}_4\text{Te}_4(\text{CN})_{12}] \cdot 5\text{H}_2\text{O}$**

Ключевые слова: рений,
тетраэдрические халькоцианидные кластеры, цинк,
кристаллическая структура



Полищук А.В., Карасёва Э.Т., Пушилин М.А.,
Кайдалова Т.А., Карасёв В.Е.

406

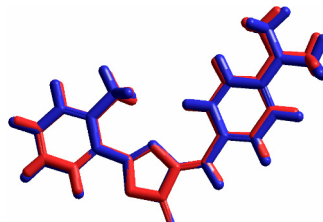


**Строение и спектрально-люминесцентные
свойства соединений европия(III) с никотиновой
кислотой и энрофлоксацином**

Ключевые слова: европий, никотиновая кислота,
энрофлоксацин, комплексы, люминесценция, структура

Sevinçek R., Öztürk G., Aygün M., Alp S.,
Büyükgüngör O.

412



**Structural and photophysical characterization,
topological and conformational analysis of 2-*o*-tolyl-
4-(3-N,N-dimethylaminophenylmethylene)-
oxazol-5-one**

Keywords: crystal structure, oxazole-5-one,
conformational analysis, topological analysis

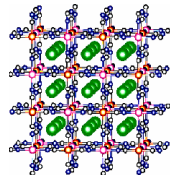
ОБЗОРЫ

Печениук С.И., Домонов Д.П.

419

Свойства двойных комплексных соединений

Ключевые слова: двойные комплексные соединения,
синтез, структура, магнитные свойства,
термическое разложение



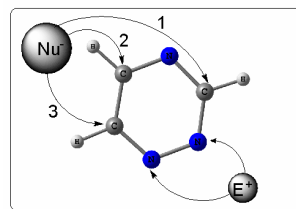
КРАТКИЕ СООБЩЕНИЯ

Бунев А.С., Стацик В.Е., Тудакова Я.А.

436

**Квантово-химическое исследование
реакционной способности 1,2,4-триазина
в реакциях с электрофильными и
нуклеофильными реагентами**

Ключевые слова: 1,2,4-триазин,
метод функционала плотности, электронное строение,
коэффициенты Фукуи, термодинамические параметры

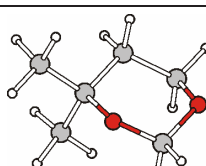


Мамлеев А.Х., Галеев Р.В., Файзуллин М.Г.

440

**Микроволновый спектр и ТФП расчеты
4,4-диметил-1,3-диоксана**

Ключевые слова: 4,4-диметил-1,3-диоксан,
микроволновый спектр, структура, квантовая химия

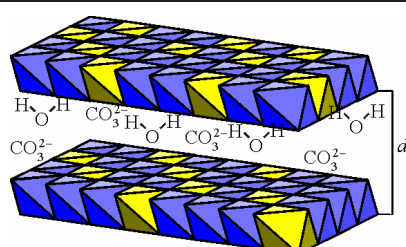


Бутенко Э.О., Капустина Е.В., Капустин А.Е.,
Кравченко В.С., Громилов С.А., Гуеган Р.

444

**Изменение структуры слоистых двойных
гидроксидов $Mg_xAl_y(OH)_z$ при адсорбции
органических соединений**

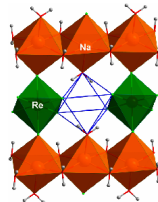
Ключевые слова: слоистые двойные гидроксиды
 $Mg_xAl_y(OH)_z$, дифрактометрия поликристаллов,
удельная поверхность



Шушарина Е.А., Задесенец А.В., Громилов С.А.

447

**Кристаллическая структура и термические
свойства $\text{Na}_2[\text{ReCl}_6] \cdot 6\text{H}_2\text{O}$**

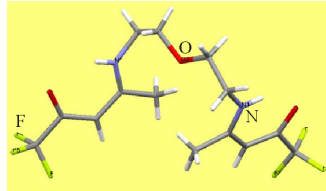


Ключевые слова: рений, платина, термолиз,
кристаллохимия, рентгеноструктурный анализ,
рентгенофазовый анализ

Слепухин П.А., Болтачева Н.С., Филякова В.И.,
Чарушин В.Н.

451

**Рентгеноструктурное исследование 1,5-бис-
(4',4',4'-трифтотр-1'-метил-3'-оксо-бут-1'-
ениламино)-3-оксапентана**



Ключевые слова: 1,5-бис-(4',4',4'-трифтотр-1'-метил-3'-
оксо-бут-1'-ениламино)-3-оксапентан,
рентгеноструктурный анализ

Содержание следующего номера — в конце журнала